

بررسی و بهینه سازی خواص مکانیکی نانو کامپوزیت‌های هیبریدی پایه اپوکسی تقویت شده با الیاف کربن به روش تاگوچی

یاسر رستمیان^{*۱}^۱ استادیار، گروه مهندسی مکانیک، واحد ساری، دانشگاه آزاد اسلامی، ساری، ایران

مقاله مستقل، تاریخ دریافت: ۱۳۹۶/۰۱/۳۰؛ تاریخ بازنگری: ۱۳۹۶/۰۷/۱۹؛ تاریخ پذیرش: ۱۳۹۶/۰۳/۲۷

چکیده

در این مقاله، خواص مکانیکی لمینیت‌های هیبریدی با ترکیبات اپوکسی/الیاف کربن/نانو خاک رس/نانو دی اکسید تیتانیوم و اپوکسی/الیاف کربن/نانو خاک رس/نانو لوله کربنی، در ابتدا بصورت مجزا و نهایتاً بصورت مقایسه‌ای، مورد بررسی قرار گرفت. بدین منظور نمونه‌هایی فاقد نانو ذرات مشتمل از اپوکسی و ۱۶ لایه فیبرکربن و همچنین نمونه‌های اپوکسی و فیبرکربن حاوی نانو ذرات که در چهار درصد وزنی مختلف و دو ترکیب (خاک رس/نانو لوله‌های کربنی) و (خاک رس/دی اکسید تیتانیوم) به اپوکسی اضافه گردیده بودند، ساخته و مورد آزمایش قرار گرفتند. از نکات این پژوهش، بررسی آزمایشگاهی و بهینه سازی به کمک روش تاگوچی، در جهت کاهش تعداد آزمایش‌ها و کاستن هزینه‌ها و دستیابی به مقاومت کششی و خمشی بهینه در نمونه‌های کامپوزیتی ساخته شده است. نتایج حاصله از این پژوهش نشان داد که نمونه‌های حاوی نانو رس با ۵٪ درصد وزنی و نانوذار اکسید تیتانیوم با ۱٪ درصد و نانو لوله کربنی با ۵٪ درصد وزنی، دارای بالاترین مقاومت در نمونه هیبریدی نهایی خواهد بود.

کلمات کلیدی: لمینیت‌های هیبریدی؛ نانو خاکرس؛ نانولوله کربنی؛ نانو دی اکسید تیتانیوم؛ کشش؛ خمش.

Investigation and Optimization of the Mechanical Properties of Epoxy based Hybrid Nano-Composites Reinforced by Carbon-Fiber: Using Taguchi Method

Y. Rostamiyan^{1,*}¹ Department of Mechanical Engineering, Sari Branch, Islamic Azad University, Sari, Iran.

Abstract

In this manuscript, the mechanical properties of hybrid laminates with content of Epoxy/Carbon Fiber/clay/TiO₂ and Epoxy/Carbon Fiber/ clay/ CNT have been investigated separately and comparative. For this purpose, the samples with and without nano particles: (Epoxy/ CF) and (Epoxy/CF/Clay/TiO₂& Epoxy/CF/Clay/CNT) have been fabricated. In this study, in order to decrease the number of experiments, costs and optimum tensile and bending strength, Taguchi as one of experimental design methods is employed. The results showed that the samples with 0.5 wt% of clay, 1 wt% TiO₂ and 0.5 wt% CNT have the highest tensile and bending strength.

Keywords: Hybrid Laminates; Nano Clay; Carbon Nanotube; Nano TiO₂; Tensile; Bending.

* نویسنده مسئول؛ تلفن: ۰۹۱۱۱۵۳۷۰۶

آدرس پست الکترونیک: yasser.rostamiyan@iausari.ac.ir

۱- مقدمه

مولکولی اپوکسی، نیز نقش پر رنگی دارد و سبب می‌شود از حداکثر ظرفیت تحمل بار و قابلیت کرنش پذیری اجزاء، استفاده شود.

امروزه کامپوزیت‌های پایه پلیمری در کنار کامپوزیت‌های پایه فلزی و سرامیکی، بدليل برخورداری از استحکام بالا در عین چگالی بسیار پایین و خواص شیمیایی مقاوم در برابر آسیب‌های طبیعی از قبیل، پوسیدگی و خوردگی، از اهمیت فوق العاده ای برخوردار شده است [۳].

لذا در دهه‌های اخیر تحقیقات بسیار زیادی برای ارتقاء خواص مکانیکی کامپوزیت‌ها و مخصوصاً کامپوزیت‌های پایه پلیمری انجام گرفته است. این نکته حائز اهمیت است که علم نانو پنجه‌ری جدیدی را پیش روی محققین گشوده است تا به کمک فناوری نانو بتوانند خواص مکانیکی مواد را پیش از پیش ارتقاء بخشنده، بدون اینکه از دیگر خصوصیات خوب مواد کاسته شود.

نانوذرات یک گروه از تقویت‌کننده‌ها هستند که در انواع و ابعاد مختلفی وجود دارند؛ به عنوان مثال نانو دی اکسید تیتانیوم نانوذرهای است از دی اکسید تیتانیوم، کروی شکل و با ابعاد حدود ۲۰ تا ۳۰ نانومتر. نانورس نانو ذرهای است از خاک رس، با شکل هندسی صفحه‌ای و ابعادی حدود ۱۰۸ نانومتر. نانوذرات دیگری از قبیل، دی اکسید آلومینیم، دی اکسید زیرکونیم، نانو فیبرهای کربن و نانو تیوب‌های کربنی نیز وجود دارند که کاربرد گسترده‌ای در زمینه تقویت خواص مکانیکی اپوکسی داشته، در صنعت نیز کاربرد فراوان دارند.

لیوو همکارانش نشان [۴] دادند، اضافه کردن ۲ تا ۱۰ درصد وزنی نانو لوله‌های کربنی به اپوکسی، خواص مکانیکی و مدول الاستیک را بهبود می‌بخشد. منتظری و همکارانش [۵] نشان دادند که افزودن ۵/۰ درصد وزنی نانو لوله‌های کربنی چند جداره به درون اپوکسی، استحکام کششی و مدول یانگ را تا حد زیادی بهبود می‌بخشد. آلوبیو همکارانش [۶] به این نتیجه رسیدند که با افزودن ۴ درصد وزنی نانولوله‌های کربنی چند جداره به درون ماده زمینه اپوکسی، مدول یانگ افزایش می‌یابد. فلوریانو همکارانش [۷]، به بررسی تاثیرات افزودن نانو لوله‌های کربنی به ماده زمینه اپوکسی پرداختند و به این نتیجه رسیدند، افزودن مقدار کمی به اپوکسی خواص مکانیکی آن را تا حد زیادی افزایش

امروزه از کامپوزیت‌های پایه اپوکسی به دلیل داشتن وزن کم، شکل پذیری خیلی خوب، مقاومت شیمیایی بالا و چسبندگی خوبشان در صنعت خودرو سازی، هواپیما سازی، مواد ساختمانی، وسایل ورزشی و غیره مورد استفاده قرار می‌گیرند [۱]؛اما روزین اپوکسی به دلیل داشتن ضعف در خاصیت مکانیکی اش، استفاده از آن در صنایعی را کم می‌کند که نیاز به فاکتورهای مکانیکی همچون مقاومت و استحکام دارد [۲].

اپوکسی حاصل از ترکیب رزین و سخت‌کننده، هیچ حلای ندارد؛ لذا در برابر خوردگی ناشی از اسیدها و قلیاها و مشتقان نفتی مقاوم است؛ از طرفیک ترکیب عایق‌سیار خوب حرارت و الکتریسیته و یک نارسانای مقاوم است و مناسب برای بکارگیری به عنوان دی الکتریک است. قالب گیری این ترکیب و ساخت اشکال هندسی از آن بسیار به سهولت انجام می‌شود و به دلیل داشتن چگالی اندکی کمتر از آب، مناسب برای ساخت شناورهای سبک است.

لذا اپوکسی در صنعت کاربردهای گسترده‌ای از جمله، در زمینه ساخت رنگ‌ها، چسب‌ها، کامپوزیت‌ها، قالب‌های صنعتی، مصارف دریایی و هوافضا، سامانه‌های الکترونیکی و الکتریکی و مصارف خانگی پیدا کرده است؛ اما کاربرد آن در زمینه کامپوزیت‌ها بسیار متنوع و گسترده است؛ چرا که قابلیت مخلوط شدن با انواع تقویت‌کننده‌ها از قبیل، نانو ذرات و میکروذرات، الیاف، فیبرها... را دارد. عامل تأمین کننده کرنش پذیری در اپوکسی مجموع کرنش پذیری پیوندهای قطبیاست؛ از این رو رفتار اپوکسی، مشابه مواد نرم نیست و ظاهراً مشابه مواد ترد به نظر می‌رسد. پس تغییر شکل حاصل از اعمال کنش، بیشتر الاستیک است؛ لذا اپوکسی نه انعطاف‌پذیری مواد نرم و نه تصلب مواد ترددار دارد. همین خصوصیتیعنی کرنش پذیری بالا در عین ترد بودن سبب شده که تقویت‌کننده‌هایی از قبیل، نانو ذرات و میکرو ذرات به عملکرد اپوکسی در ساختار اپوکسی مختلف کمک کنند. یکی از اختلالاتی که در ساختار اپوکسی بوجود می‌آید، این است که به دلیل نرسیدن هاردنر به مولکول‌های رزین در برخی نقاط، شبکه مولکولی در این نقاط دچار نابجایی شده، آسیب‌پذیر می‌شود. حضور نانو ذرات و میکرو ذرات در رفع نواقص ناشی از نابجایی های شبکه

تاغوجی یک روش آماری برای طراحی آزمایش است که برای بهبود کیفیت نتایج و اهدافی همچون، ساده و بهینه کردن نتایج آزمایش در کم ترین زمان و با استفاده از کمترین موارد اولیه، مورد استفاده قرار می‌گیرد. طراحی آزمایشات پیشنهاد شده توسط تاغوجی شامل، استفاده از آرایه‌های متعامد در سازماندهی تاثیر پارامترهای فرآیند و سطوحی است که باید تغییر کند. این روش اجازه می‌دهد، بررسی فاکتورهایی که بیشترین تأثیر را روی کیفیت محصول دارند، با کمترین تعداد آزمایشات انجام گیرد؛ تا بدین گونه در زمان و منابع صرفه جویی شود [۱۸, ۱۷].

آرایه‌ها در طرح‌های تاغوجی به وسیله شماری از پارامترها و سطوح مختلف انتخاب می‌شوند. آنالیز واریانس روی داده‌های جمع آوری شده از طراحی آزمایشات به روش تاغوچی می‌تواند در انتخاب پارامترهای جدید برای بهینه‌سازی عملکرد مورد استفاده قرار گیرد. اطلاعات بدست آمده از آرایه‌ها می‌تواند به وسیله ترسیم اطلاعات و یا تحلیل جبری، مورد تحلیل قرار گیرد. میر محسنی و همکاران [۱۹]، با استفاده از روش تاغوچی به بررسی اثر نانورس و ذرات ترموبلاست در رزیناپوکسی پرداختند و اثر هم افزایی آن‌ها را در استحکام کششی و ضربه بررسی کردند.

هدف از انجام این تحقیق، بررسی و بهینه‌سازی مقاومت مکانیکی چندلایه‌های اپوکسی / الیاف کربن/نانو خاک رس / دی اکسید تیتانیوم-نانو لوله کربنیکه کمک الگوی تاغوچی و با انجام آزمون‌های کشش و خمش است.

۲- تجربی

۱- مواد اولیه

چندلایه‌ای که در این پژوهه ساخته و مورد آزمایش قرار گرفته است، دارای ۱۶ لایه با زوايا و ترکیبات متفاوت است. برای ساخت نمونه‌ها از مواد به شرح زیر استفاده شده است:

جهت ساخت ماده زمینه از رزین اپوکسی (ایون ۸۲۸) شرکت شل و عامل پخت سیکلو آلیفاتیک پلی آمین با نسبت ترکیب ۲۳ به ۱۰۰ استفاده شده است. الیاف کربن مدل T700-12K شرکت تورای (Toray) و تک جهته است. نانو لوله‌های کربنی، دی اکسید تیتانیوم و خاک رس از شرکت تکنان (Tecnan) اسپانیا تهیه و خریداری شده‌اند.

می‌دهد. ژو و همکارانش [۸] نشان دادند که افزودن ۳ درصد وزنی از نانو لوله‌های کربنی، ۱۹ درصد مدول یانگ را بهبود می‌بخشد. همچنین محققان دیگری از جمله ایواهوری [۹]، شاهید [۱۰]، دین [۱۱]، سیدیکوبی [۱۲] و تیمرم [۱۴] نشان دادند، افزودن مقدار کمی از نانو لوله‌های کربنی به درون اپوکسی حد نهایی فشار و خمش را بین ۱۲ تا ۳۶ درصد افزایش می‌دهد؛ ولی اپوکسی به خاطر شبکه مولکولی سه بعدی خود، مقاومت بسیار پایینی در مقابل ضربه و رشد ترک دارد؛ این موضوع باعث کاهش استفاده این مواد مخصوصاً در شرایط بارگذاری گردیده است [۱۵, ۱۶]. در دهه گذشته تحقیقات زیادی برای بالا بردن مقاومت این ماده در برابر رشد ترک صورت گرفته است. در سال‌های اخیر تلفیق فاز پر کننده میکرو پلاستیک یا انواع مختلف پلیمرهای ترموبلاستیک، باعث افزایش مقاومت اپوکسی در برابر رشد ترک و ضربه گردیده است. سلطان و همکارانش [۱۶]، از میکرو ذرات پلاستیک به عنوان پر کننده اپوکسی استفاده کردند و دریافتند مقاومت در مقابل ضربه تا حد زیادی افزایش یافت. آنها از میکرو ذرات پلاستیکی از نوع کربوکسیلید ترمیناتید آکریلونیتریل برای افزایش مقاومت در برابر ضربه اپوکسی از نوع دی گیدیسیدیل اتر بیسفنول A استفاده کردند و مشاهده کردند که مقدار انرژی شکست تا حد قابل ملاحظه‌ای افزایش یافته است.

در ساخت نمونه‌های کامپوزیتی، فاکتورهای بسیاری دخیل هستند و هر کدام تاثیر خاص دارند؛ اما چگونگی بکارگیری فاکتورها می‌تواند تابع روش‌های مختلفی باشند که از آن جمله می‌توان به بهینه سازی توسط هوش مصنوعی و بهینه سازی، روش تاغوچی و یا سایر روش‌ها اشاره کرد. به دلیل اینکه انجام آزمایش همواره دارای هزینه و زمان زیادی است مخصوصاً اگر تعداد آزمایش‌ها زیاد باشد، لذا باید روش موثری برای کاهش این مقادیر در نظر گرفته شود، البته بدون اینکه لطمه‌ای به نتایج و همچنین کیفیت آزمایش وارد سازد. از این رو به کمک طراحی آزمایش می‌توان به این هدف نائل گردید. یکی از اهداف طراحی آزمایش ایناست که با تغییراتی آگاهانه در متغیرهای ورودی فرآیند، بتوان تغییرات خروجی را مشاهده و شناسایی کرد. روش‌های مختلفی برای طراحی آزمایش وجود دارد.

- حالت دوم - نمونه های حاوی نانو ذرات همانطور که در فصل قبل اشاره شد، برای طراحی آزمایش و ساخت ترکیب شیمیایی از الگوی تاگوچی استفاده می کنیم. برای این منظور از نرم افزار Minitab کمک می کنیم. در این نرم افزار در ابتدا بر اساس تعداد فاکتورها، آرایه مناسب را مطابق جدول ۲ مشخص می کنیم.

جدول ۲- الگوی تاگوچی

| Experimental no. | Factor levels | | |
|------------------|----------------|----------------|----------------|
| | A ^a | B ^b | C ^c |
| 1 | 1 | 1 | 1 |
| 2 | 1 | 2 | 2 |
| 3 | 1 | 3 | 3 |
| 4 | 1 | 4 | 4 |
| 5 | 2 | 1 | 2 |
| 6 | 2 | 2 | 1 |
| 7 | 2 | 3 | 4 |
| 8 | 2 | 4 | 3 |
| 9 | 3 | 1 | 3 |
| 10 | 3 | 2 | 4 |
| 11 | 3 | 3 | 1 |
| 12 | 3 | 4 | 2 |
| 13 | 4 | 1 | 4 |
| 14 | 4 | 2 | 3 |
| 15 | 4 | 3 | 2 |
| 16 | 4 | 4 | 1 |

A=fiber orientation

B=Clay content

C= CNT/TiO₂ content

پس از آماده شدن ماتریس و برش الیاف، حال نوبت به لایه چینی لمینیت ها می رسد. بعد از این که هاردنر را به مخلوط اضافه کردیم، می بایستی سریعاً عملیات لایه چینی انجام شود. برای این منظور ابتدا سطح صافی را انتخاب کردیم، با واکس مخصوص چرب می کیم تا لایه اول الیاف کربن به سطح نچسبد. بعد از چرب کردن سطح توسط واکس، لایه اول را روی آن قرار داده، روی لایه را با مخلوط مورد نظر توسط یک قلم مو آغشته می کنیم. سپس نوبت قرار دادن لایه دوم است. لایه چینی ها طبق الگوی لمینیت های متقاضان معکوس است (شکل ۱). هر بار که لایه ای را می چینیم باید آن را با غلتک، حباب های موجود در آن خارج می کنیم. تمام مراحل لایه گذاری به همین صورت تا لایه ۱۶ ام انجام می شود. سپس آنها را چند ساعت در دمای محیط رها می کنیم تا به مرحله پخت بررسیم.

۲-۲- آماده سازی نمونه ها

به منظور آماده سازی نمونه های مورد نیاز آزمایش ابتدا الیاف کربن در اندازه های مورد نیاز و طبق استاندارد مربوطه در چهار جهتگیری ۰، ۳۰، ۶۰ و ۹۰ درجه به گمک شابلون برش زده شد. هر نمونه لمینیت دارای ۱۶ لایه از الیاف کربن بوده است. بعد از برش تعداد مورد نیاز از الیاف کربن، ذرات نانو با ۴ درصد وزنی متفاوت طبق الگوی تاگوچی به اپوکسی اضافه گردیدند.

جدول ۱ مقادیر وزنی نانوذرات و نیز جهتگیری الیاف را نشان می دهد.

جدول ۱- معرفی سطوح و پارامترهای ورودی طبق الگوی تاگوچی

| Factors | Levels | | | |
|-----------------------------------|--------|-----|-----|-----|
| | 1 | 2 | 3 | 4 |
| fiber orientation (deg.) | 0 | 30 | 60 | 90 |
| Clay content (wt. %) | 0.5 | 1.5 | 2.5 | 3.5 |
| Cnt content (wt. %) | 0.5 | 1 | 1.5 | 2 |
| TiO ₂ content (wt. %) | 1 | 2 | 3 | 4 |

به منظور اختلاط کامل نانو ذرات در اپوکسی، مخلوط مورد نظر توسط همزن مکانیکی با دور ۲۰۰۰ دور در دقیقه و به مدت ۲ ساعت به طور کامل آماده شده، سپس در مرحله بعد به منظور همگن سازی نمونه و جلوگیری از باز شدن صفحات لایه های اتمی، ماتریس را به مدت ۸ دقیقه درون دستگاه اولتراسونیک هموژنایزر قرار می دهیم. برای ساخت نمونه اولیه و خالص بدون نانو مواد، ۱۶ لایه اندازه استاندارد مورد نظر را وزن کرده، دقیقاً به همان اندازه رزین و هاردنر را باهم ترکیب می کنیم. اضافه کردن هاردنر به رزین اپوکسی طبق دستور العمل شرکت تولید کننده رزین اپوکسی به صورت زیراست:

"به ازای هر ۱۰۰ گرم اپوکسی، باید ۲۳ گرم هاردنر اضافه کنیم."

- حالت اول - نمونه خالص

ترکیبات این نمونه بدون مواد نانوییاست و فقط از رزین اپوکسی و هاردنر استفاده می شود. برای ساخت این نمونه ها نیازی به الگوی تاگوچی نمی باشد؛ زیرا مقادیر ترکیب این دو ماده از طرف شرکت سازنده اپوکسی اعلام شده است.

دستگاه آزمایش یونیورسال STM-150 استفاده شده است (شکل ۲).

۲-۳-۲- آزمون خمش

به منظور بررسی میزان مقاومت نمونه‌های ساخته شده در برابر نیروهای وارده آنها را تحت آزمون خمش سه نقطه‌ای قرار می‌دهیم. استاندارد این آزمون، ASTM D790 بوده است. برای این آزمون هم از دستگاه آزمایش سنتام STM-150 استفاده شده است (شکل ۳).

۳- نتایج و بحث

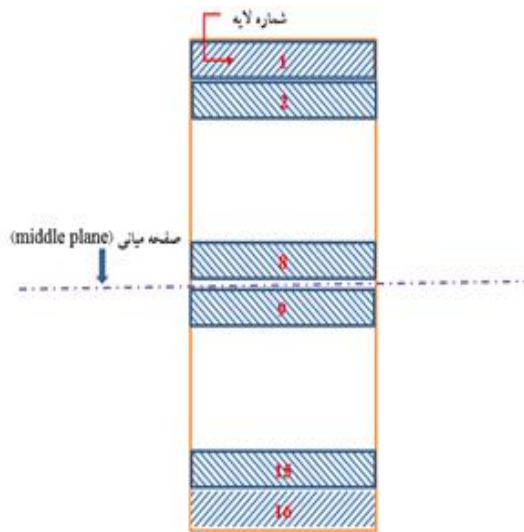
در این قسمت، نتایج حاصل از آزمون‌های مکانیکی مربوط به جهت‌گیری‌های مختلف الیاف کربن و نیز درصد اختلاط‌های مختلف نانو ذرات به عنوان تقویت کننده‌های فاز میکرو بر اساس آرایه داده شده، به کمک روش تاگوچی مورد بحث و بررسی قرار گرفته است.

۱-۳- بررسی نتایج آزمون کشش

نتیجه‌های که خروجی دستگاه است، محاسبه مقدار نیروی وارده بر نمونه به جایجایی دو فک است. در گام بعد می‌توان از رابطه فوق نیرو را به تنش و جایجایی را به کرنش تبدیل کرد. آنچه به طور معمول در علوم مهندسی مورد استفاده قرار می‌گیرد، منحنی تنش در برابر کرنش است.



شکل ۲- نمونه در حال انجام آزمایش کشش در دستگاه یونیورسال



شکل ۱- نمونه لایه چینی یک لمینیت ۱۶ لایه متقارن معکوس

۱-۲-۲- مرحله پخت نمونه‌ها

بعد از انجام مراحل فوق و ساخت نمونه اولیه نوبت به پخت آنها می‌رسد. برای این منظور، نمونه‌ها را درون آون قرار می‌دهیم و در بازه زمانی هشت ساعته و ۴ دمای مختلف نمونه‌ها پخته می‌شوند. دمایا عبارتند از: ۱۰۰ درجه - ۱۵۰ درجه - ۲۰۰ درجه و ۴۰۰ درجه سانتیگراد. دو ساعت ابتدایی با دمای ۱۰۰ درجه و ۲ ساعت دوم با دمای ۱۵۰ درجه، ۲ ساعت بعدی با دمای ۲۰۰ درجه و دو ساعت آخر هم با دمای ۴۰۰ درجه عمل پخت انجام می‌گیرد.

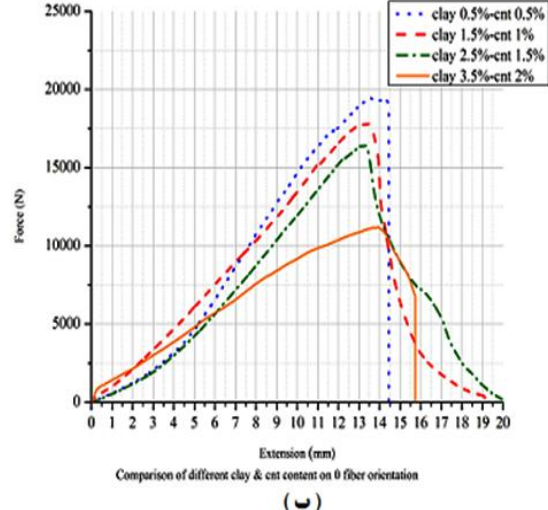
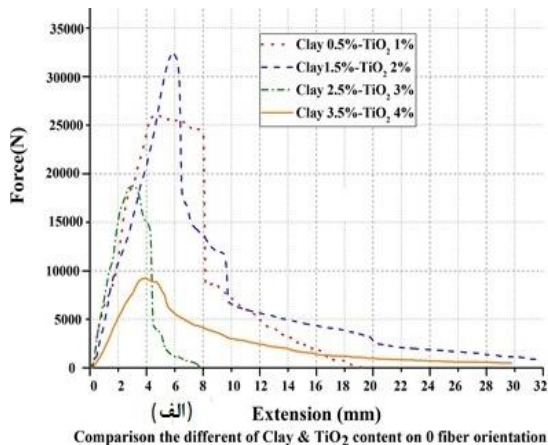
۲-۳- آزمون‌ها

۱-۳-۲- آزمایش کشش

نمونه‌های ساخته شده مورد آزمون کشش مطابق استاندارد ASTM D3039 قرار گرفتند؛ در این آزمون ابتدا نمونه‌های دو فازی (الیاف کربن و اپوکسی)، سپس نمونه‌های سه فازی (اپوکسی، الیاف کربن، نانو خاک رس / نانو دی اکسید تیتانیوم / نانو لوله کربنی) و پس از آن نمونه‌های چهار فازی (اپوکسی، الیاف کربنی، نانو خاک رس، نانو دی اکسید تیتانیوم / نانو لوله کربنی) تحت آزمایش قرار گرفتند و نتایج آنها با هم مقایسه گردیدند. برای انجام آزمون کشش از

با توجه به شکل ۵، بیشترین تاثیر اختلاط نانو ذرات برای نانو رس ۰/۵ درصد و نانو تیتانیوم ۲ درصد و برای نانو لوله کربنی ۱ درصد است.

همچنین برای مشخص شدن اثر هم افزایی نانوذرات دی اکسید تیتانیوم و خاک رس، از کانتور پلات شکل ۶ استفاده شده است. با توجه به شکل می توان دریافت بهترین بازه طراحی برای تیتانیوم در بازه ۱/۶ تا ۲/۴ درصد وزنی و برای خاک رس بین ۰/۵ تا ۰/۸ است؛ در نتیجه با افزودن مقادیر مربوطه از نانوذرات می توان به اثر هم افزایی در ترکیب مورد نظر دست یافت.



شکل ۴- نمودار نیرو-جابجایی آزمون کشش سیستم چهارتایی (الف) ترکیب دی اکسید تیتانیوم و (ب) ترکیب نانو لوله کربنی



شکل ۳- آزمون خمس سه نقطه‌ای

۱-۱-۳- نمودار آزمون کشش برای سطوح چهارگانه اول

در شکل ۴-الف و شکل ۴-ب چهار سطح صفر درجه با درصد های مختلف وزنی برای دو گروه ترکیبی نشان داده شده است.

همانطور که در شکل ۴ نشان داده شد، بیشترین تأثیر نانو ذرات مربوط به سطح یک و درصد وزنی برای نانو رس ۰/۵ درصد و نانو دی اکسید تیتانیوم ۱ درصد و نانو لوله کربنی ۰/۵ درصد بوده است.

۲-۱-۳- نمودار آزمون کشش برای سطوح چهارگانه دوم

در شکل ۵ چهار سطح ۳۰ درجه با درصد های مختلف وزنی برای دو گروه ترکیبی نشان داده شده است.

برای بررسی تاثیر استفاده همزمان از نانو ذرات لوله‌های کربنی و خاک رس نیز، از نمودار شکل ۷ استفاده شده است. در این شکل دو ناحیه که اثر هم افزایی رخ داده است، به خوبی مشهود است. با توجه به شکل می‌توان دریافت، بهترین بازه طراحی برای CNT در بازه $0/5$ تا $1/5$ درصد وزنی و برای خاک رس بین $0/5$ تا $1/2$ است.

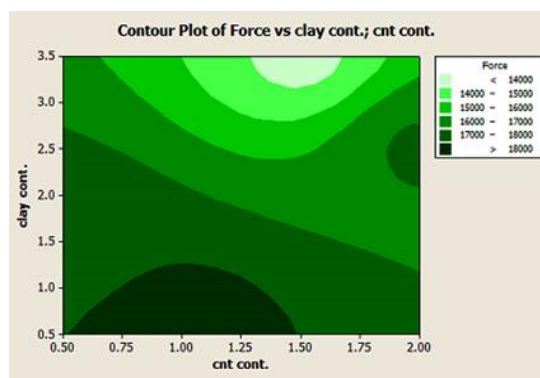
۳-۱-۳- نمودار آزمون کشش برای سطح چهارگانه

سوم

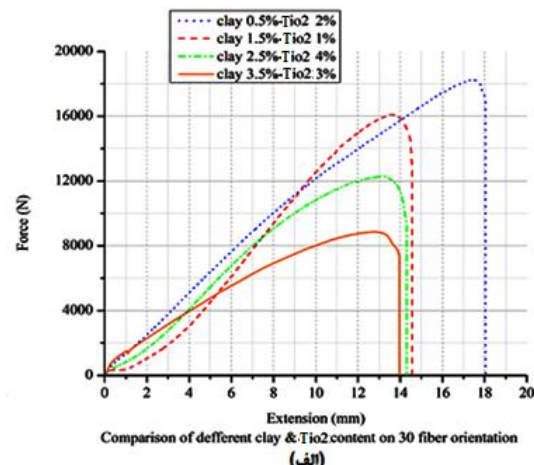
در شکل ۸ چهار سطح 60° درجه برای گروه‌های ترکیبی چهارتایی، مورد مقایسه قرار گرفت.

در شکل ۸ بیشترین تاثیر نانو ذرات مربوط به سطح نه و درصد وزنی برای نانو رس $0/5$ درصد و نانو دی اکسید تیتانیوم 3 درصد و برای نانو لوله کربنی $1/5$ درصد است. در شکل ۹ و 10 نمودارهای تاثیر نانو ذرات و همچنین نمودار کانتور پلات به جهت نشان دادن بهتر نتیجه قرار داده شده است و مشخص شده که تاثیر درصد نانو ذرات به چه ترتیب است.

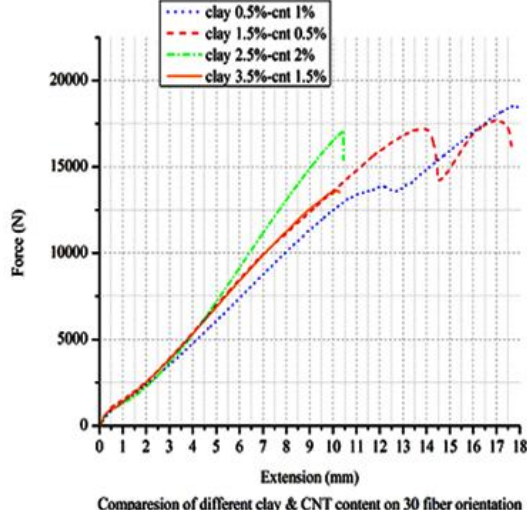
همانطوری که در شکل ۹ مشاهده می‌شود، میزان تاثیر نانو رس با میزان $0/5$ درصد وزنی در سطح صفر درجه دارای بهترین وضعیت بوده، نانو دی اکسید تیتانیوم با 3 درصد وزنی دارای بالاترین میزان مقاومت در سطح شش بوده است که تصویر کانتورپلات نیز، این مساله را تائید می‌نماید، همچنین با توجه به شکل 10 نیز، نانو رس با $0/5$ درصد وزنی و نانو لوله کربنی با $1/5$ درصد وزنی، دارای بیشترین مقاومت کششی در سطح نه است.



شکل ۷- کانتور پلات ۲ بعدی خاک رس و CNT
(لمینیت: 30°)

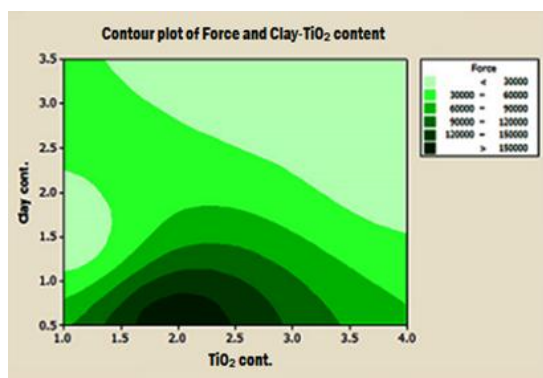


Comparison of different clay & TiO₂ content on 30 fiber orientation (الف)

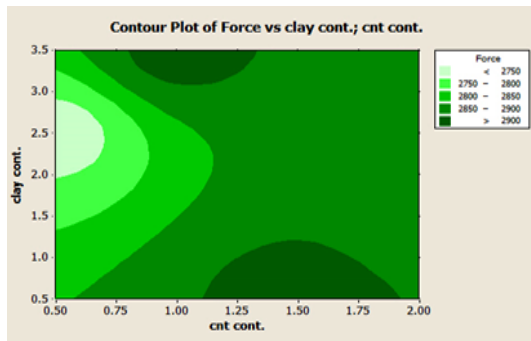


Comparison of different clay & CNT content on 30 fiber orientation (ب)

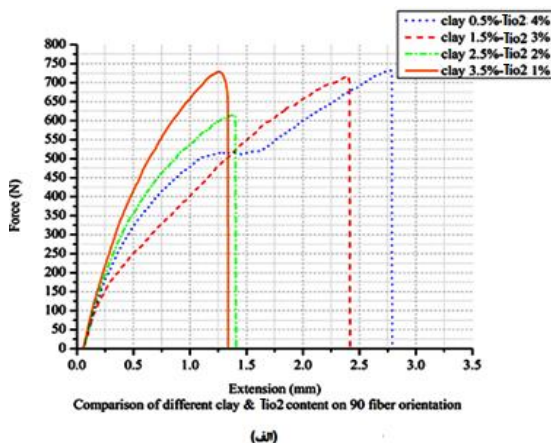
شکل ۵- نمودار نیرو-جابجایی آزمون کشش سیستم چهارتایی (الف) ترکیب تیتانیوم و (ب) ترکیب نانو لوله کربنی



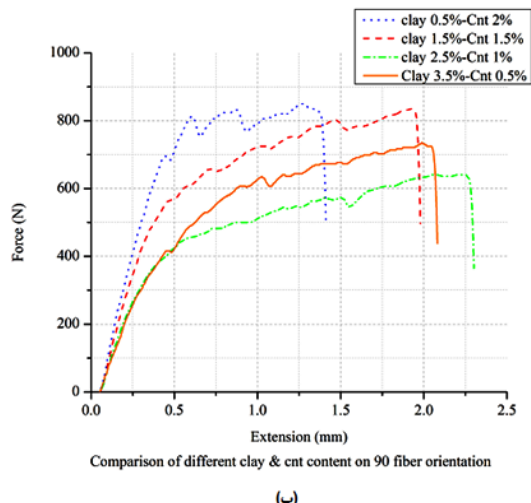
شکل ۶- کانتور پلات ۲ بعدی خاک رس و دی اکسید تیتانیوم (لمینیت: 30°)



شکل ۱۰- کانتور بلات خاک رس و نانولوله کربنی (لمینیت[®])



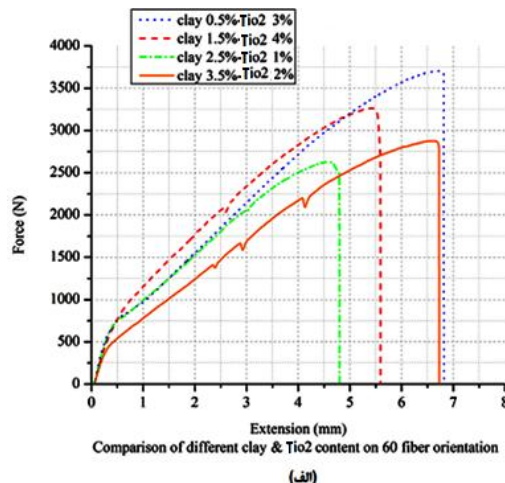
(الف)



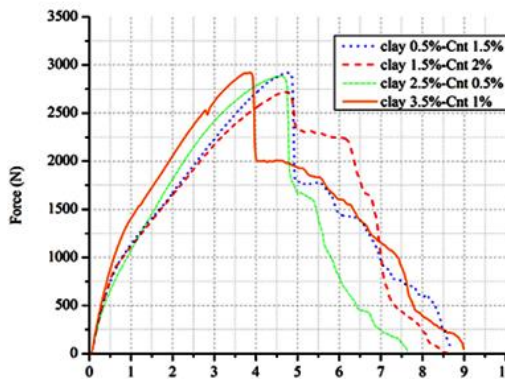
(ب)

شکل ۱۱- نمودار نیرو- جابجایی آزمون کشش سیستم چهارتایی (الف) ترکیب تیتانیوم و (ب) ترکیب نانولوله کربنی

۴-۱-۳- نمودار آزمون کشش برای چهار سطح پایانی در شکل های ۱۱-الف و ب سطح های ۹۰ درجه با درصد های وزنی متفاوت برای دو گروه ترکیبی نشان داده است.

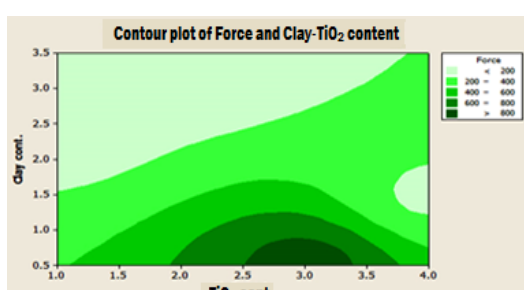


(الف)



(ب)

شکل ۸- نمودار نیرو- جابجایی آزمون کشش سیستم چهارتایی (الف) ترکیب تیتانیوم و (ب) ترکیب نانولوله کربنی



شکل ۹- کانتور بلات ۲ بعدی خاک رس و تیتانیوم (لمینیت[®])

درصد تاثیر هر یک از متغیرها بدین ترتیب است که الیاف $40/3\%$ ، نانولوله کربنی $1/86\%$ و نانو خاک رس $0/64\%$ است. مقدار R-Sq که برابر $95/5\%$ است، نشان از میزان نزدیکی نتیجه پیش بینی شده با نتیجه آزمایشگاهی دارد.

۳-۵-۲-آنالیز واریانس نمونه های حاوی TiO_2

در جدول ۴ بیشترین تاثیر باز هم مربوط به زاویه الیاف بوده، بعد از آن درصد نانو دی اکسید تیتانیوم و نانو خاک رس در انتهای جای گرفت. درصد تاثیر هر یک از متغیرها بدین ترتیب است که الیاف $3/97\%$ ، نانولوله کربنی $1/48\%$ و نانو خاک رس $1/10\%$ است. مقدار R-Sq که برابر $91/0\%$ است، نشان از میزان نزدیکی نتیجه پیش بینی شده با نتیجه آزمایشگاهی دارد.

در شکل ۱۲ نمودار احتمال پراکندگی مربوط به دو نانو ذره دی اکسید تیتانیوم و لوله کربنی نشان داده شده است که میزان نزدیکی نقاط به خط مرجع، حاکی از معتبر بودن نتایج است.

در نمودار نشان داده شده برای هر دو گروه، بازهم بهترین درصد وزنی برای نانو رس $0/5$ درصد و برای تیتانیوم 4 درصد و مقدار نانولوله کربنی 2 درصد بوده است.

۳-۱-۵-آنالیز واریانس کشش

۳-۱-۵-۱-آنالیز واریانس نمونه های حاوی نانولوله کربنی

جدول ۳ نتایج آنالیز واریانس آزمون کشش نمونه های حاوی نانولوله کربنی را نشان می دهد. با توجه به نتایج بدست آمده از آزمایش ها، تفسیر جدول ۵ بدین گونه خواهد بود که اگر مقدار P-Value از $0/05$ کمتر باشد، میزان تاثیر آن متغیر بسیار بالاست و اگر از $0/05$ بیشتر باشد، میزان تاثیر کمتر بوده، اما برای اعداد خارج از این محدوده به نسبت فاصله مقداریشان از $0/05$ میزان موثر بودن را نشان خواهد داد. با توجه به جدول ۳، زاویه الیاف بیشترین تأثیر را روی مقاومت کششی لمینیت خواهد داشت و بعد از آن نیز به ترتیب، بیشترین تأثیرات متعلق به نانولوله کربنیو نانو رس است.

جدول ۳-آنالیز واریانس آزمون کشش

| Source | D'f | Sq SS ^۱ | Adj SS | Adj MS | F | P ^۲ Value |
|---------------|-----|--------------------|--------|--------|-------|----------------------|
| CF | 3 | 234.17 | 234.17 | 78.042 | 40.30 | 0.000 |
| Clay Contet | 3 | 3.709 | 3.709 | 1.236 | 0.64 | 0.617 |
| CNT Contet | 3 | 10.824 | 10.824 | 3.608 | 1.86 | 0.237 |
| Residul Error | 6 | 11.618 | 11.618 | 1.936 | | |
| Total | 15 | 260.8 | | | | |

R-Sq = 95.5%

جدول ۴-آنالیز واریانس آزمون کشش

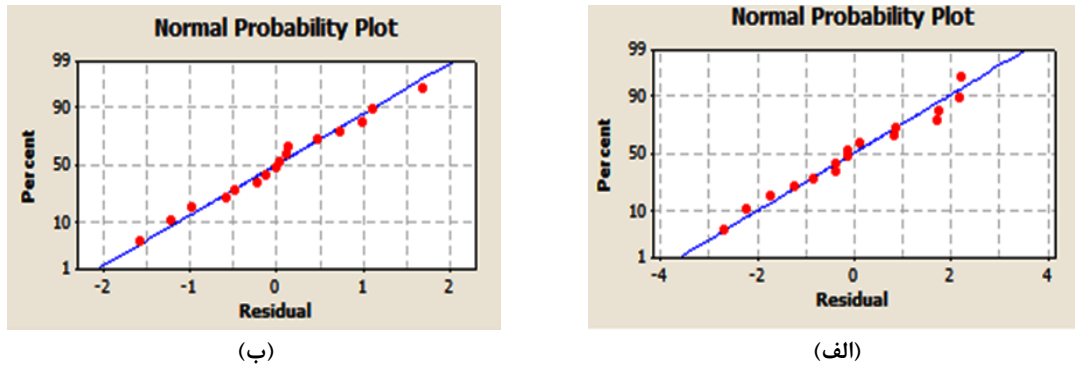
| Source | Df | Sq SS | Adj SS | Adj MS | F | PValue |
|-------------------------|----|---------|---------|--------|------|--------|
| Degree | 3 | 224.089 | 219.089 | 72.6 | 39.7 | 0.031 |
| Clay Content | 3 | 2.847 | 2.847 | 1.083 | 1.10 | 0.421 |
| TiO ₂ Contet | 3 | 9.551 | 9.551 | 4.295 | 1.48 | 0.31 |
| Residual Error | 6 | 11.031 | 11.031 | 2.701 | | |
| Total | 15 | 247.518 | | | | |

R-Sq=91.0%

¹ Degree of Freeness

² Sum of Squares

³ Probability

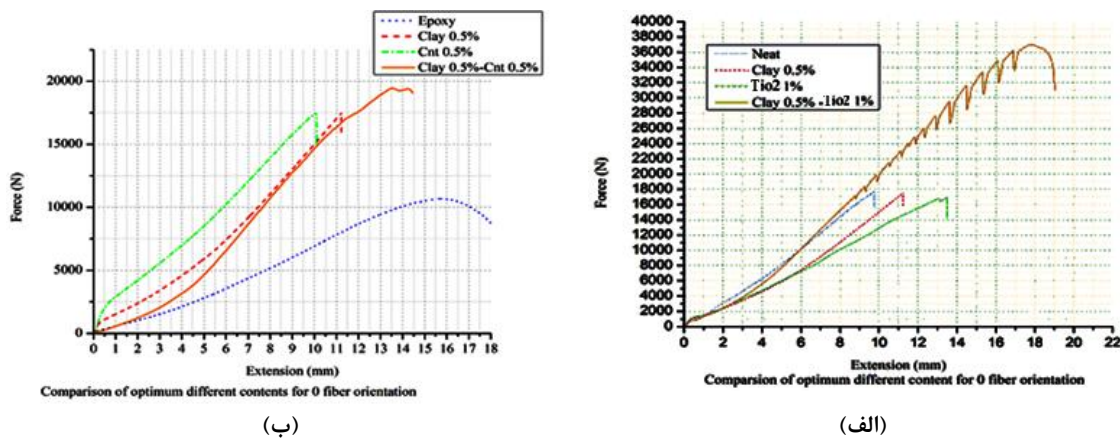


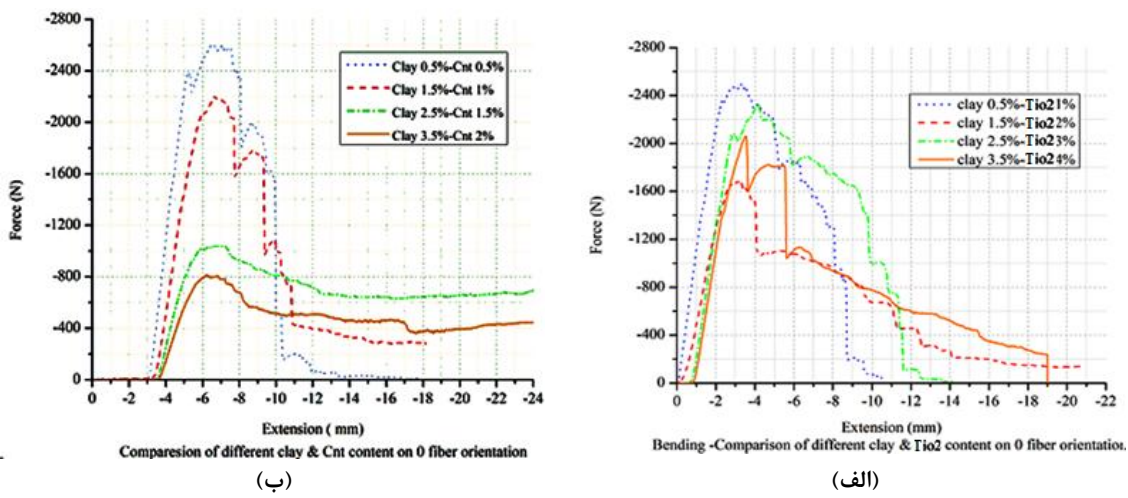
شکل ۱۲- نمودار احتمال پراکندگی (الف) لمینیت دی اکسید تیتانیوم و (ب) لمینیت لوله کربنی

الیاف صفر درجه ، نانو رس $0/5$ درصد وزنی، نانو دی اکسید تیتانیوم 1 درصد و نانو کربن $0/5$ درصد وزنی.

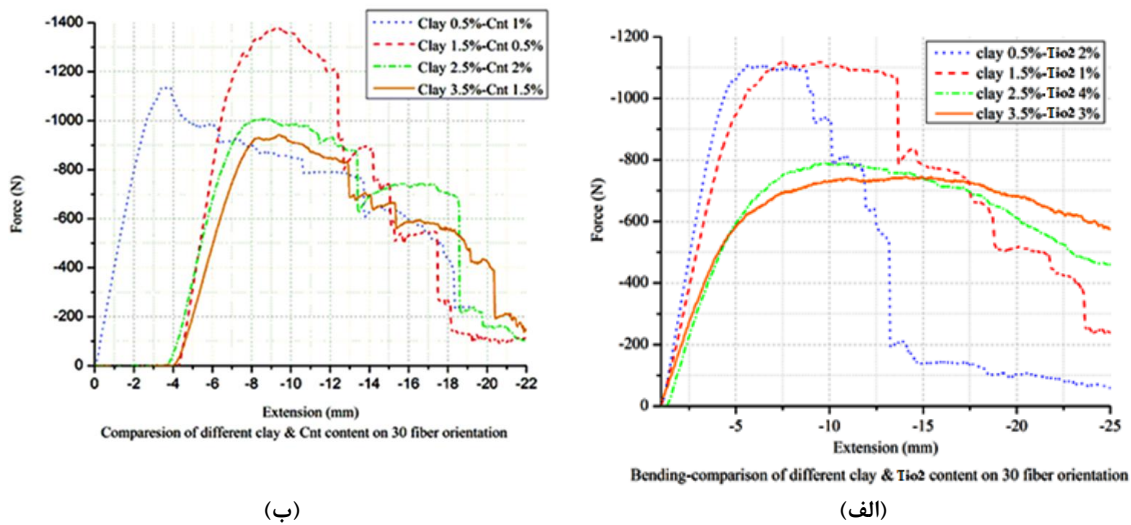
۲-۲-۳- نمودار آزمون خمس برابر سطح دوم
سطح دوم دارای زاویه 30 درجه به صورت ارتوتروپ می باشدند که نتیجه آزمایش آنها برای هر دو گروه از نمونه ها در شکل ۱۵ نشان داده شده است.

در این نمودار نتایج کمی متفاوت از سایر نمودارها بوده است، یعنی تاثیر نانو دی اکسید تیتانیوم در دو سطح پنج و شش بسیار به هم نزدیک بوده است، ولی مقدار پنج، نتیجه مقاومتری را نشان داد؛ یعنی با $0/0$ درصد نانو رس و 2 درصد نانو دی اکسید تیتانیوم و برای لمینیت های نانو لوله کربنی در سطح شش نتیجه بهتری داشتیم.

شکل ۱۳- نمودار نیرو-جابجایی آزمون کشش مقایسه مدل بهینه با بهترین نتایج بدست آمده CNT و (ب) ترکیب TiO_2



شکل ۱۴- نمودار نیرو- جابجایی آزمون خمش سه نقطه‌ای (الف) ترکیب دی اکسید تیتانیوم و (ب) ترکیب نانو لوله کربنی

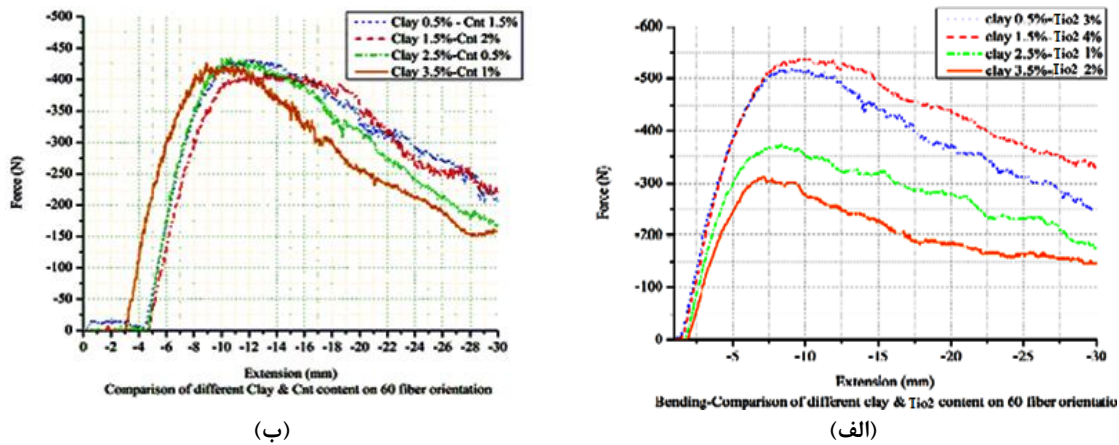


شکل ۱۵- نمودار نیرو- جابجایی آزمایش خمش سه نقطه‌ای (الف) ترکیب دی اکسید تیتانیوم و (ب) ترکیب نانو لوله کربنی

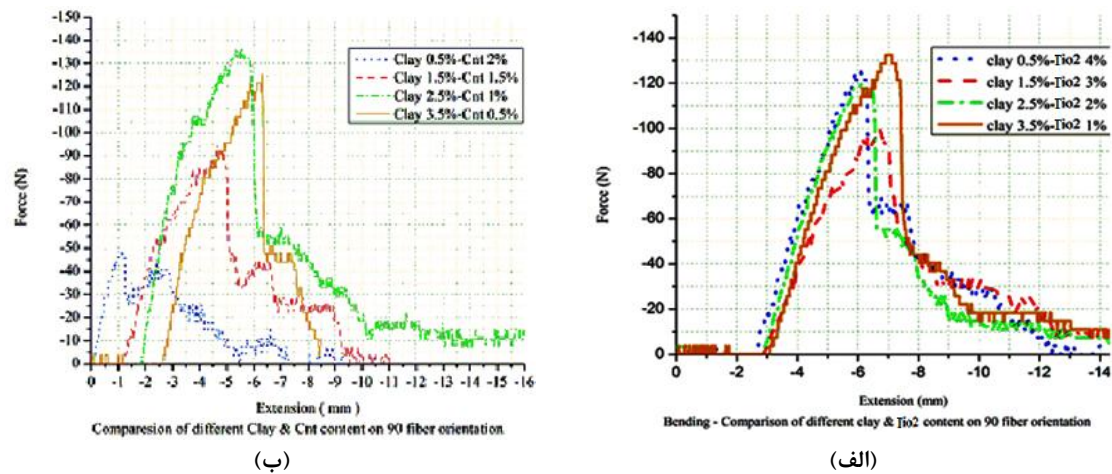
۳-۲-۵-۵- مقایسه سطوح با در نظر گرفتن نانو رس با ۰/۵ درصد وزنی همانند آزمون کشش، در این مرحله نیز نانو رس را ثابت در نظر گرفته، سایر فاکتورهای متغیر را با هم مورد بررسی قرار دادیم. در شکل ۱۸ این نمودار به تصویر کشیده شده است و همانند آزمون کشش، مقاومت‌ترین زاویه در میان سایر زوایا زاویه صفر درجه، بهترین درصد وزنی برای نانو رس ۰/۵، برای نانو لوله کربنی ۰/۵ و برای دی اکسید تیتانیوم ۱ است.

۳-۲-۳- نمودار آزمون خمش برای چهار سطح سوم در شکل ۱۶ مقادیر نیرو برای زاویه ۶۰ درجه مورد بررسی قرار گرفته است.

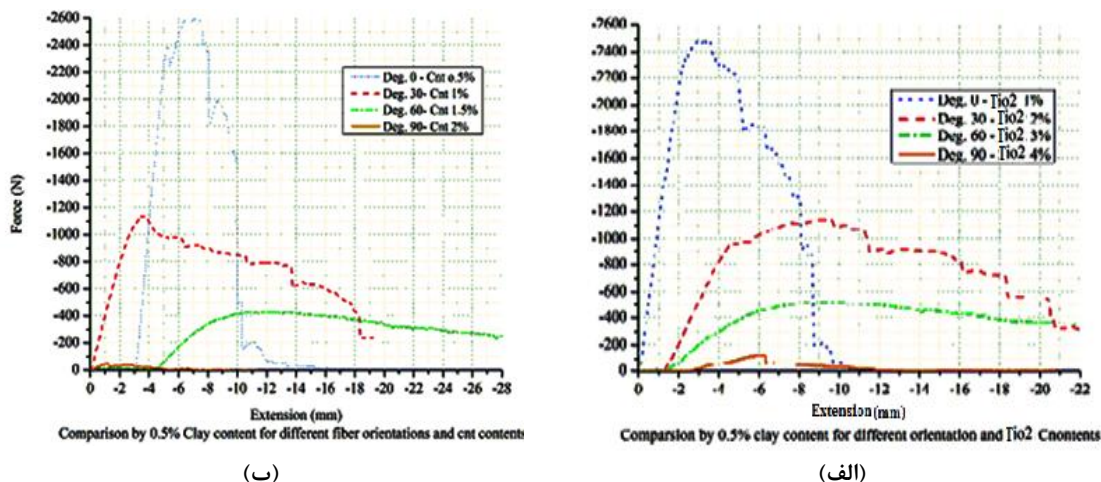
۴-۲-۳- نمودار آزمون خمش برای چهار سطح چهارم سطح چهارم دارای زاویه ۹۰ درجه است که دارای ضعیفترین میزان مقاومت در بین سایر سطوح است. در شکل ۱۷، نمودارهای لازم داده شده است.



شکل ۱۶- نمودار نیرو-جابجایی آزمون خمش سه نقطه‌ای (الف) ترکیب تیتانیوم و (ب) ترکیب نانو لوله کربنی



شکل ۱۷- نمودار نیرو-جابجایی آزمون خمش سه نقطه‌ای (الف) ترکیب تیتانیوم و (ب) ترکیب نانو لوله کربنی



شکل ۱۸- نمودار نیرو-جابجایی آزمون خمش سه نقطه‌ای (الف) ترکیب دی اکسید تیتانیوم و (ب) ترکیب نانو لوله کربنی

۲-۶-۲-۳-آنالیز واریانس نانو TiO_2

در جدول ۷ آنالیز سطح مربوط به نانو دی اکسید تیتانیوم نشان داده شده است. همانگونه که در جدول فوق مشاهده می‌شود، بیشترین تاثیر باز هم مربوط به زاویه الیاف بوده، اما در خمس تاثیر نانو رس بالاتر از نانو لوله کربنی گردیده است. درصد تاثیر هر یک از متغیرها بدین ترتیب است که زاویه الیاف $63/48\%$ ، نانو لوله رس $0/9\%$ و نانو دی اکسید تیتانیوم $0/72\%$ است. مقدار R-Sq که برابر CNT Contet است، نشان از میزان نزدیکی نتیجه پیش بینی شده با نتیجه آزمایشگاهی دارد. در شکل ۱۹، نمودار احتمال پراکندگی مربوط به نمونه‌های ساخته شده مربوط به آزمون خمس است که میزان پراکندگی در این لمینیت‌ها نیز در حداقل ممکن خود قرار دارد.

۲-۶-۲-۳-آنالیز واریانس خمس

۲-۶-۱-آنالیز واریانس نانو لوله کربنی

در جدول ۶، آنالیز واریانس مربوط به آزمون خمس برای ۱۶ سطح برای نانولوله‌های کربنی نشان داده شده است. همانگونه که در جدول ۶ مشاهده می‌شود، بیشترین تاثیر در خمس مربوط به زاویه الیاف بوده، اما تاثیر نانو رس بالاتر از نانو لوله کربنی گردیده است (در مقایسه با کشش). درصد تاثیر هر یک از متغیرها بدین ترتیب است که زاویه الیاف $8/65\%$ ، نانو لوله رس $72/3\%$ و نانو دی اکسید تیتانیوم $45/2\%$ است. مقدار R-Sq که برابر $3/97\%$ است، نشان از دقیق بودن نتیجه پیش بینی شده با نتیجه آزمایشگاهی دارد.

جدول ۶- آنالیز واریانس مربوط به خمس (CNT)

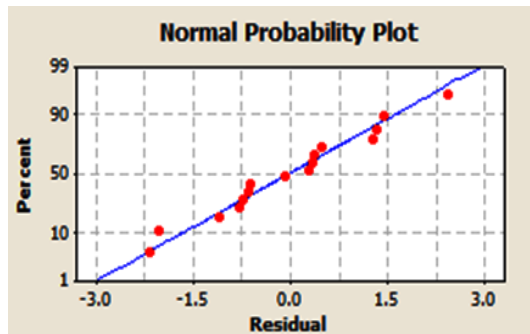
| Source | Df | Seq SS | Adj SS | Adj MS | PValue |
|----------------|----|---------|--------|---------|--------|
| Degree | 3 | 778.12 | 778.12 | 259.374 | 0.000 |
| Clay Content | 3 | 29.31 | 29.31 | 9.77 | 0.161 |
| CNT Contet | 3 | 44.53 | 44.53 | 14.843 | 0.08 |
| Residual Error | 6 | 23.91 | 23.91 | 3.986 | |
| Total | 15 | 1010.31 | | | |

R-Sq=97.3%

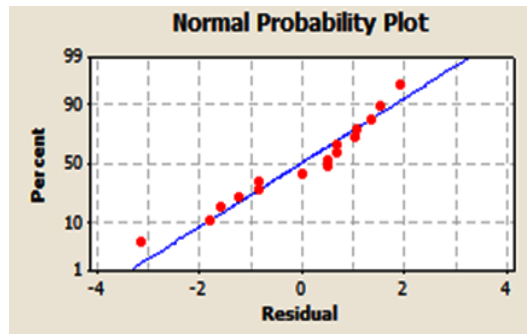
جدول ۷- آنالیز واریانس مربوط به خمس (دی اکسید تیتانیوم)

| Source | Df | Seq SS | Adj SS | Adj MS | PValue |
|-------------------------|----|---------|--------|---------|--------|
| Degree | 3 | 955.78 | 955.78 | 318.593 | 0.000 |
| Clay Contet | 3 | 13.61 | 13.61 | 4.538 | 0.492 |
| Tio ₂ Contet | 3 | 10.61 | 10.61 | 3.602 | 0.577 |
| Residual Error | 6 | 10.81 | 10.81 | 5.019 | |
| Total | 15 | 1010.31 | | | |

R-Sq=97.0%



(ب)



(الف)

شکل ۱۹- نمودار احتمال پراکندگی (الف) نانو دی اکسید تیتانیوم و (ب) نانو لوله کربنی

۲-۴- تاثیر نانو TiO_2

اضافه کردن نانو دی اکسید تیتانیوم به ماتریس اپوکسی، باعث بهبود مقاومت خمشی و تا حدی کشش می شود. نانو ذرات دی اکسید تیتانیوم هنگامی که با پلیمر مخلوط می شود، به خاطر اینکه به صورت پودر می باشند، به عنوان یک پرکننده عمل کرده، باعث ایجاد سطحی صاف تر می شوند و در نتیجه مقاومت خمشی را تا حدودی افزایش می دهد. حضور دی اکسید تیتانیوم در مقادیر وزنی بیشتر از ۱ درصد در ماتریس پلیمر به علت ساختار کریستالی اش باعث ایجاد ناهماهنگی و ناهمواری در سطح و بستر ماتریس می شود و از محصور شدن زنجیره مولکولی ماتریس اپوکسی جلوگیری می کند. این خاصیت باعث می شود تا زنجیره ماتریس انعطاف پذیری کمتری پیدا کند و در نتیجه باعث کاهش چقرمگی کامپوزیت بشود.

۳-۴- تاثیر نانو ذرات خاک رس

نانو ذرت خاک رس بعد از ترکیب با ماتریس پلیمر، در امتداد ماتریس توزیع و پخش می شوند؛ در نتیجه، ذرات نانو خاک رس توسط زنجیره پلیمر گیر اندخته می شوند و قفل می گردند. در واقع نانو ذرات خاک رس، باعث استحکام فصل مشترک ماتریس/الیاف کربن می شوند. این خاصیت باعث می شود تا حدی ماده مرکب پلیمری خاصیت تردی و در عین حال استحکام بیشتری پیدا کند. در شکل ۲۱، این زنجیره نمایش داده شده است.

۴-۴- تاثیر زاویه الیاف کربن بر میزان مقاومت مکانیکی کامپوزیت

در تمام نمونه ها حالتی که دارای زاویه الیاف صفر درجه بود، نتایج بهینه حاصل شد. این رفتار را می توان اینگونه تفسیر کرد که چون جهت اعمال نیروی کششی در این حالت با جهت الیاف یکسان و همسو است؛ در نتیجه مدول یانگ متاثر از الیاف است و پارامترهای دیگر تاثیر ناچیزی دارند. در حالتی که جهت اعمال نیرو و الیاف یکسان باشد، نیروها در تمام الیافها تقسیم شده و لمینیت می تواند نیروی بیشتری را تحمل کند. در حالت بارگذاری خمشی چون جهت گیری الیاف صفر درجه با راستای بروز کرنش محوری یکسان است؛ در نتیجه مقاومت خوبی از خود نشان می دهد.

۴- نتیجه گیری

شایان ذکر است که نانو ذرات به تنها یکی عاملی برای افزایش مقاومت مکانیکی کامپوزیت ها نمی باشند، بلکه می توانند تنش های واردہ بر آن را تا حدودی پراکنده کنند و از اعمال تنش به یک نقطه جلوگیری کنند و البته این حالت برای درصد های وزنی خاصی از نانو ذرات اتفاق می افتد؛ یعنی اگر مقدار آن خیلی کم یا خیلی زیاد باشد، ممکن است حتی تاثیر منفی داشته باشد. در ادامه به بررسی نقش نانو ذرات استفاده شده در این پژوهش می پردازیم.

۴-۱- تاثیر نانولله های کربنی

نانو لوله های کربنی دارای خواص استحکامی بسیار بالا می باشند، از جمله مدول یانگ بسیار بالا و استحکام کششی خوب و از طرف دیگر به خاطر کربنی بودنشان دارای وزن بسیار کم و پایداری بالا هستند. این نانو ذره به خاطر ساختار شیمیایی ویژه می تواند با اضافه شدن به پلیمرها پیوندهای محکمی از جنس واندروالسی با آنها برقرار کند. اضافه کردن مقدار کمی از این نانو ذره، تاثیر بسیار زیادی در بهبود خواص مکانیکی کامپوزیت ها دارد. نانولله استفاده شده در این مقاله، از نوع چند جهته است. این گونه از نانو لوله های کربنی از چندین لایه های استوانه ای متحوالمرکز تشکیل شده اند. هنگامی که این نانو ذرات به ترکیب کامپوزیت اضافه می شوند، کربن با انتشار جمعی در ماتریس و حول الیاف، زنجیره ای محکم در فصل مشترک الیاف/ماتریس تشکیل می دهد. این زنجیره ها وظیفه توزیع فشار و پخش تنش های ناشی از نیروی فشاری در میان الیاف را دارند. این عمل باعث توزیع بهتر فشار و در نتیجه بالا بردن آستانه تحمل کامپوزیت می شود. البته این روند فقط برای مقادیر و درصد وزنی خاصی از گرافن صورت می گیرد که در این تحقیق، حداقل تا یک درصد وزنی این حالت اتفاق افتاد و در اکثر مواقع نیز اینگونه است. در مقدار وزنی یک درصد، ماتریس اپوکسی به حد اشباع خود می رسد و بعد از آن شکل خوش های اتم را به خود می گیرد. این حالت خوش های شدن اتم های ماتریس می تواند عامل کاهش مقاومت مکانیکی کامپوزیت بشود. تصویر میکروسکوپ الکترونی ۲۰، نحوه قرار گیری نانولله های کربنی در اپوکسی را نشان می دهد.

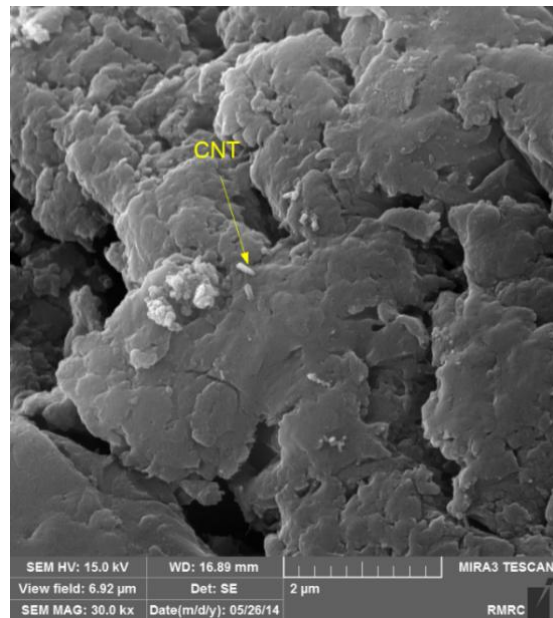
سازه ایجاد می‌شود و مقاومت لمینیت در برابر نیروی خمشی بسیار کم می‌شود.

در حالت کلی بهترین میزان درصد وزنی برای هر نانو ذره به ترتیب، نانو خاک رس ۰/۵٪، نانو لوله کربنی ۰/۵٪ و نانو دی اکسید تیتانیوم ۱ درصد بوده است؛ اما میزان تاثیر نانو ذرات در آزمایش‌ها متفاوت بود، در آزمون کشش میزان تاثیر نانو خاک رس طبق تحلیل آنالیز واریانس نسبت به دو نانو ذره دیگر، تاثیر کمتری را داشته است.

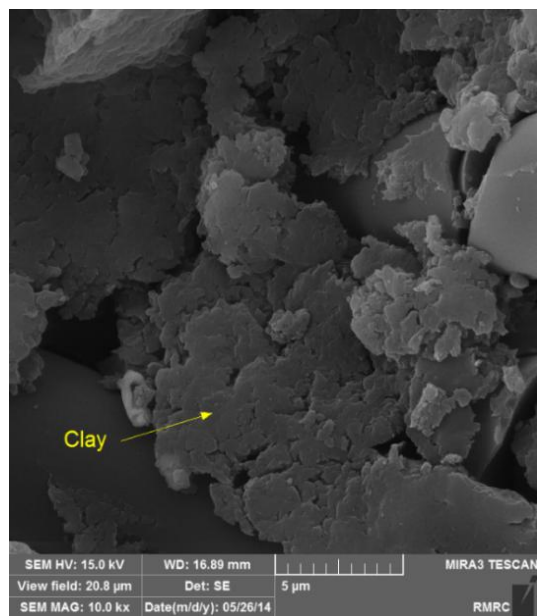
در آزمون خمش نیز نانو رس دارای تاثیر گذاری بیشتری نسبت به نانو لوله کربنی و نانو دی اکسید تیتانیوم بوده است.

۵- مراجع

- [۱] احمدی و مکانی س، نصرتی ه طهرانی دهکردی م (۱۳۹۴) تاثیر میزان خمش بر افت استحکام در کامپوزیت‌های خالص و هیبرید تقویت شده با الیاف ترد و انعطاف پذیر. مجله علمی پژوهشی مکانیک سازه‌ها و شاره‌ها ۱۸(۱): ۱۱-۱۶.
- [۲] Azadi R, Rostamiyan Y (2015) Experimental and analytical study of buckling strength of new quaternary hybrid nanocomposite using Taguchi method for optimization. Constr Build Mater 88: 212-224.
- [۳] Rostamiyan Y, Fereidoon AB, Hamed Mashhadzadeh A, Khalili MA (2013) Augmenting epoxy toughness by combination of both thermoplastic and nanolayered materials and using artificial intelligence techniques for modeling and optimization. J Polym Res 20 (6): 1-11.
- [۴] Liao Y-H M-TO, Liang Z, Zhang C, Wang B (2004) Investigation of the dispersion process of SWNTs/SC-15 epoxy resin nanocomposites. Mater Sci Eng A 175-181
- [۵] Montazeri AKA, Javadpour J, Tcharkhtchi A (2010) Viscoelastic properties of multi-walled carbon nanotube/epoxy composites using two different curing cycles. Mater Des 31(7): 3383-3388
- [۶] Allaoui ABS, Cheng HM, Bai JB (2002) Mechanical and electrical properties of a MWNT/epoxy composite. Compos Sci Technol 62(15): 1993-1998
- [۷] Gojny FH, Wichmann MHG, Fiedler B, Bauhofer W, Schulte K (2005) Influence of nano-modification on the mechanical and electrical properties of conventional fibre-reinforced composites. Compos Part A Appl Sci Manuf 36 (11): 1525-1535.



شکل ۲۰- عکس SEM از CNT



شکل ۲۱- عکس SEM از نانو ذرات خاک رس

در نمونه لمینیت‌های دارای زاویه الیاف ۹۰ درجه، همواره بدترین نتایج بدست آمده است. این رفتار می‌تواند بدلیل این امر باشد که در این وضعیت جهت اعمال نیرو بر راستای الیاف کاملاً عمود است؛ در نتیجه بیشترین تنش در

- microcracking of carbon fiber/epoxy composites. Compos Sci Technol 62(9): 1249-1258
- [14] Uda N, Ono K, Kunoo K (2009) Compression fatigue failure of CFRP laminates with impact damage. Compos Sci Technol 69(14): 2308-2314.
- [15] Gómez-delRío T, Rodríguez J, Pearson RA (2014) Compressive properties of nanoparticle modified epoxy resin at different strain rates. Compos Part B: Eng 57(0):173-179.
- [16] Sultan JN MF (1973) Effect of rubber particle size on deformation mechanisms in glassy epoxy. Polym Eng Sci 13(1): 29-34
- [17] Tanyildizi H, Şahin M (2015) Application of Taguchi method for optimization of concrete strengthened with polymer after high temperature. Constr Build Mater 79(0): 97-103.
- [18] Gu F, Hall P, Miles NJ, Ding Q, Wu T (2014) Improvement of mechanical properties of recycled plastic blends via optimizing processing parameters using the Taguchi method and principal component analysis. Mater Des 62:189-198.
- [20] Mirmohseni A, Zavareh S (2011) Modeling and optimization of a new impact-toughened epoxy nanocomposite using response surface methodology. J Polym Res 18 (4): 509-517.
- [8] Zhou Y PF, Rangari VK, Jeelani S (2006) Fabrication and evaluation of carbon nano fiber filled carbon/epoxy composite. Mater Sci Eng A 426(1-2): 221-228
- [9] Iwahori Y IS, Sumizawa T, Ishikawa T (2005) Mechanical properties improvements in two-phase and three-phase composites using carbon nano-fiber dispersed resin. Compos Part A Appl Sci Manuf 36 (10):1430-1439
- [10] Shahid NVR, Barron AR (2005) Chemically functionalized alumina nanoparticle effect on carbon fiber/epoxy composites. Compos Sci Technol 65 (14):2250-2258
- [11] Dean DOA, Richmond S, Nyairo E (2006) Multiscale fiber-reinforced nanocomposites: Synthesis, processing and properties. Compos Sci Technol 66 (13): 2135-2142.
- [12] Siddiqui NAWR, Kim J-K, Leung CCK, Munir A (2007) Mode I interlaminar fracture behavior and mechanical properties of CFRPs with nanoclay-filled epoxy matrix. Compos Part A Appl Sci Manuf 38 (2): 449-460.
- [13] Timmerman JF HB, Seferis JC. (2002) Nanoclay reinforcement effects on the cryogenic